

第三章 非稳态导热

——温度场随时间变化的导热问题

东南大学能源与环境学院

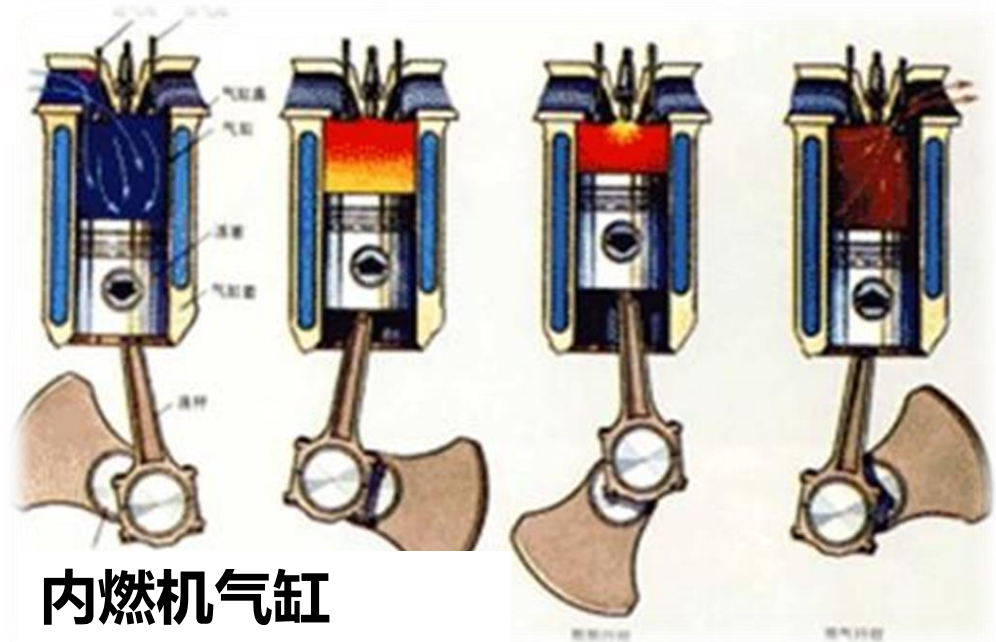
应用背景



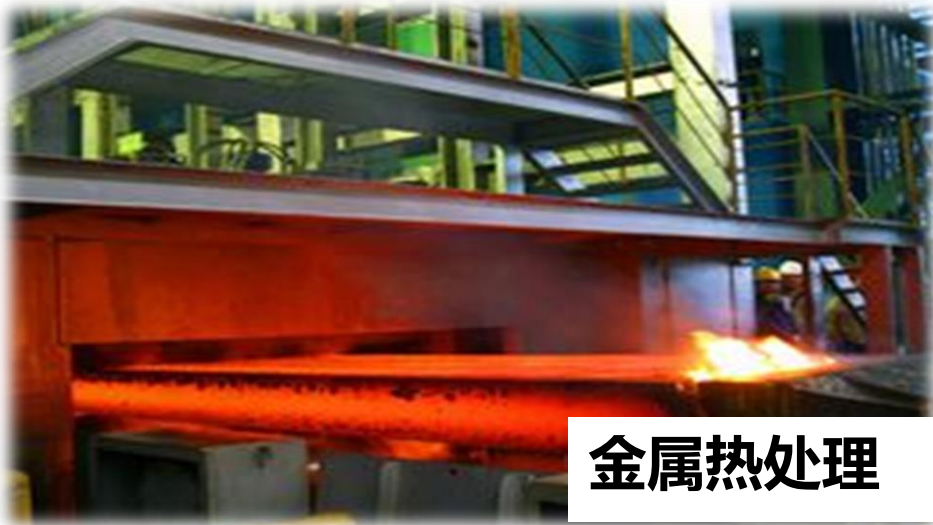
应用背景



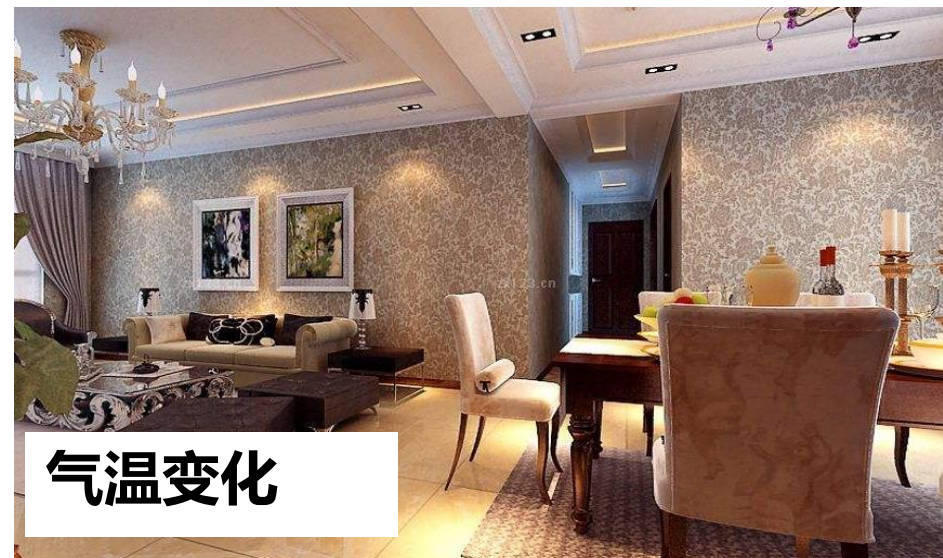
等离子喷涂



内燃机气缸



金属热处理



气温变化

3.1 概述

3.2 无限大平板的非稳态导热

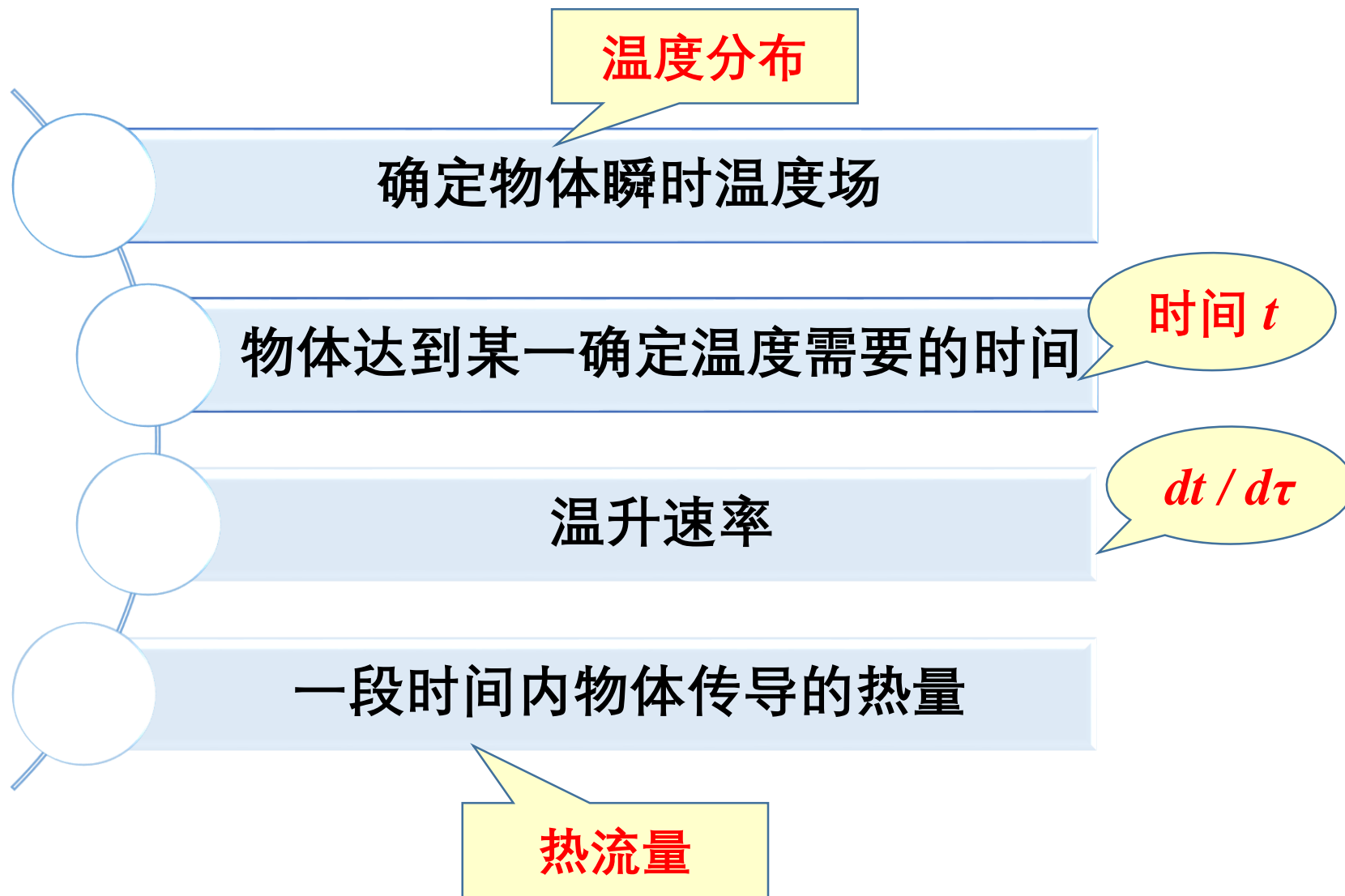
3.3 集总参数法

3.4 半无限大物体的非稳态导热

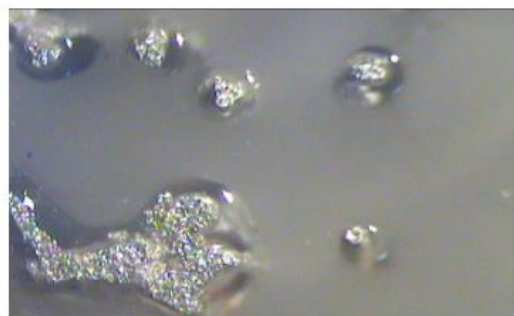
3.5 第三类边界条件下的二维和三维非稳态导热

3.1 概述

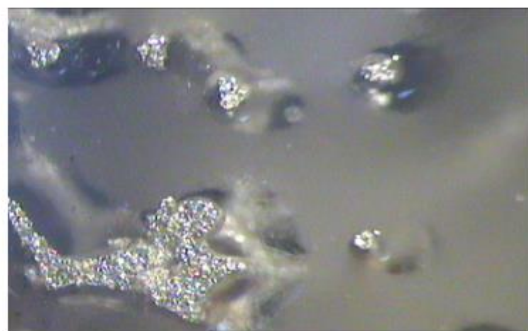
研究目的



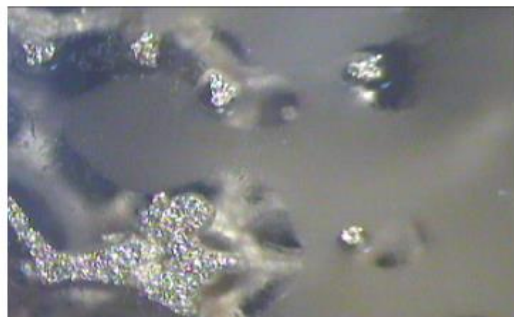
举例



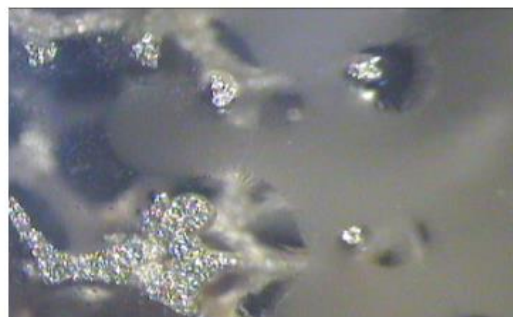
(a) 0 min



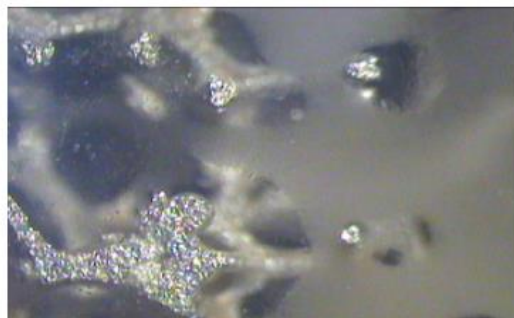
(b) 20min



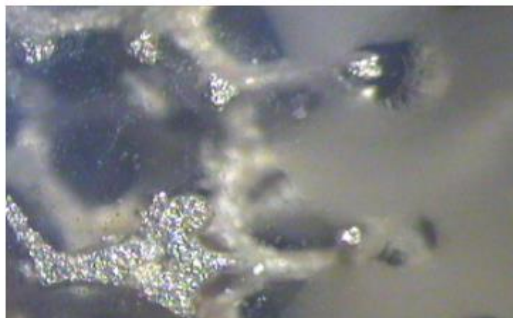
(c) 25min



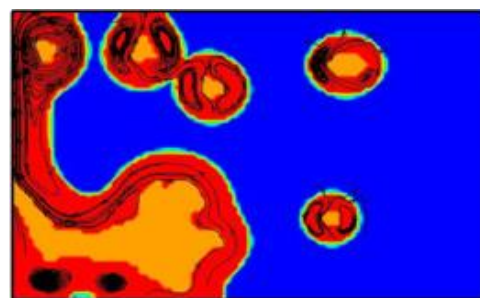
(d) 27min



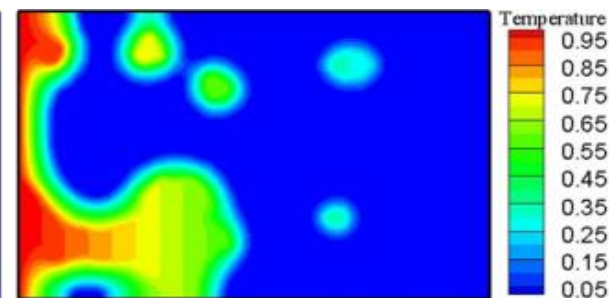
(e) 29min



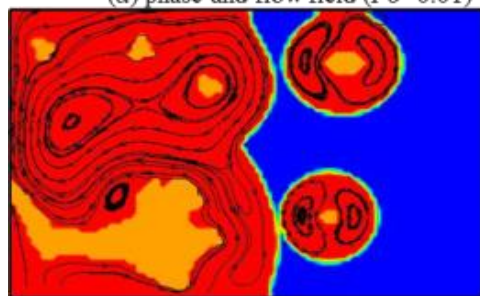
(f) 32min



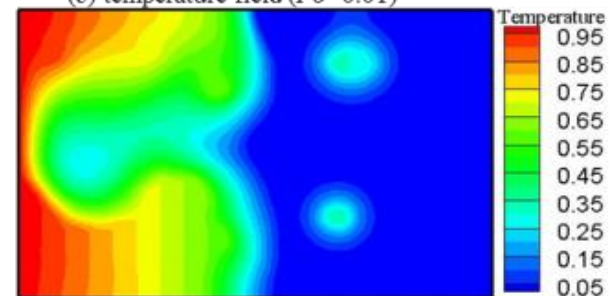
(a) phase and flow field ($Fo=0.01$)



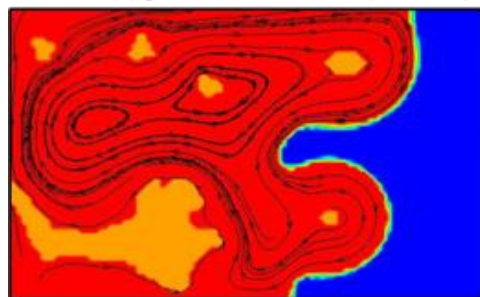
(e) temperature field ($Fo=0.01$)



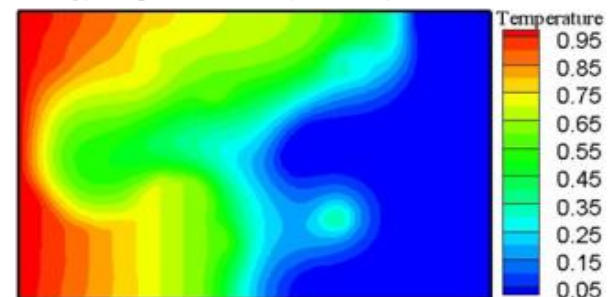
(b) phase and flow field ($Fo=0.05$)



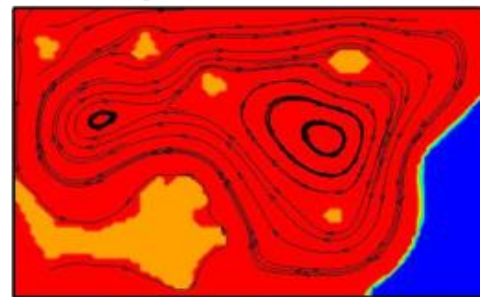
(f) temperature field ($Fo=0.05$)



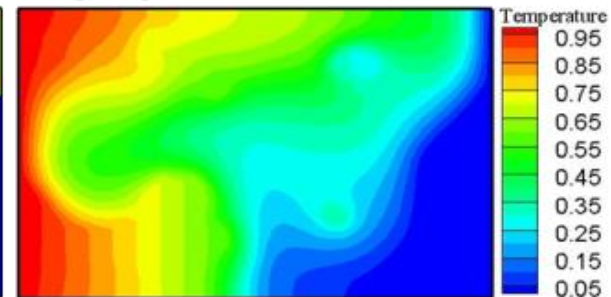
(c) phase and flow field ($Fo=0.09$)



(g) temperature field ($Fo=0.09$)



(d) phase and flow field ($Fo=0.09$)

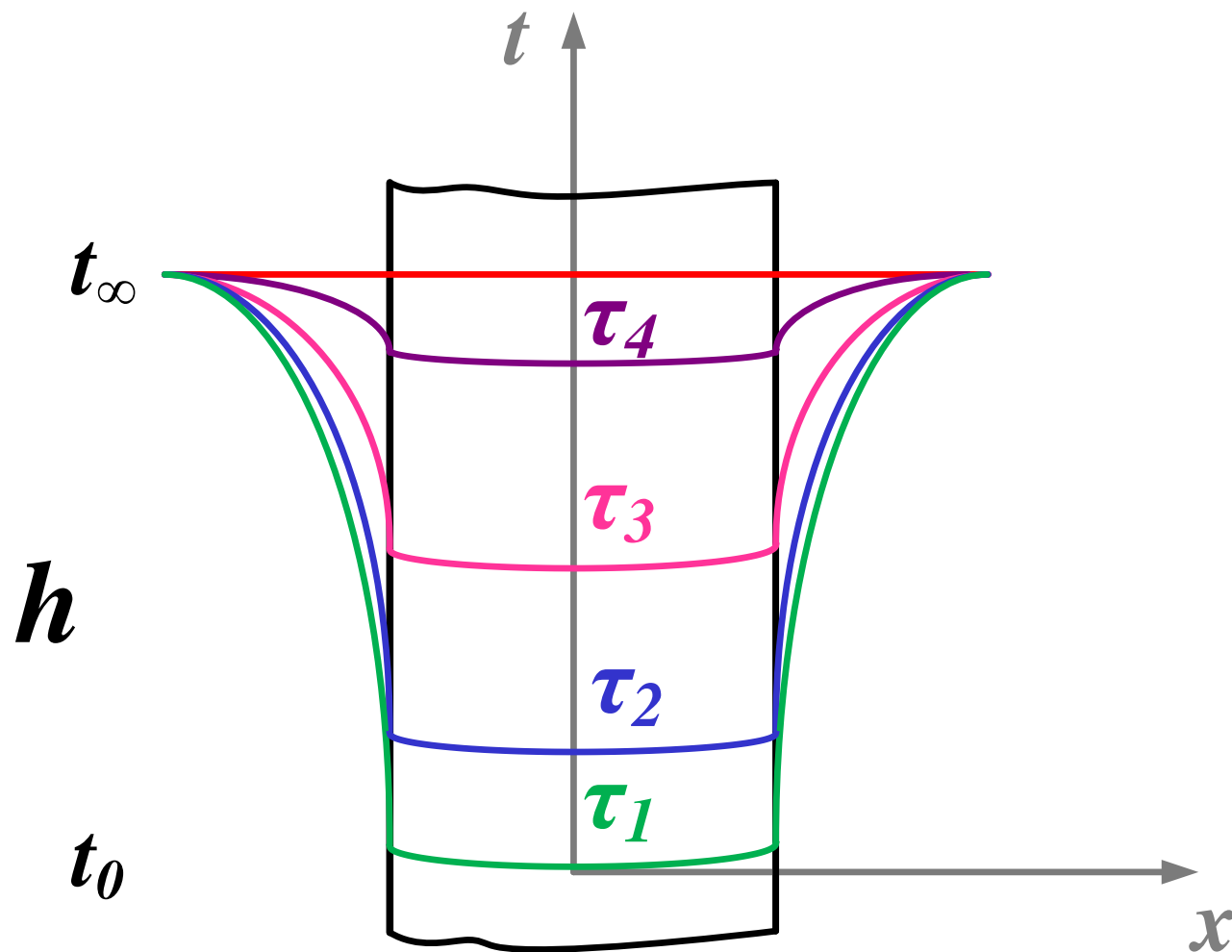


(h) temperature field ($Fo=0.09$)

非稳态导热过程的分析

$$t = f(x, y, z, \tau) ;$$

$$\Phi = f(\tau)$$



非稳态导热过程的分类

- 周期性
- 非周期性 (瞬态)

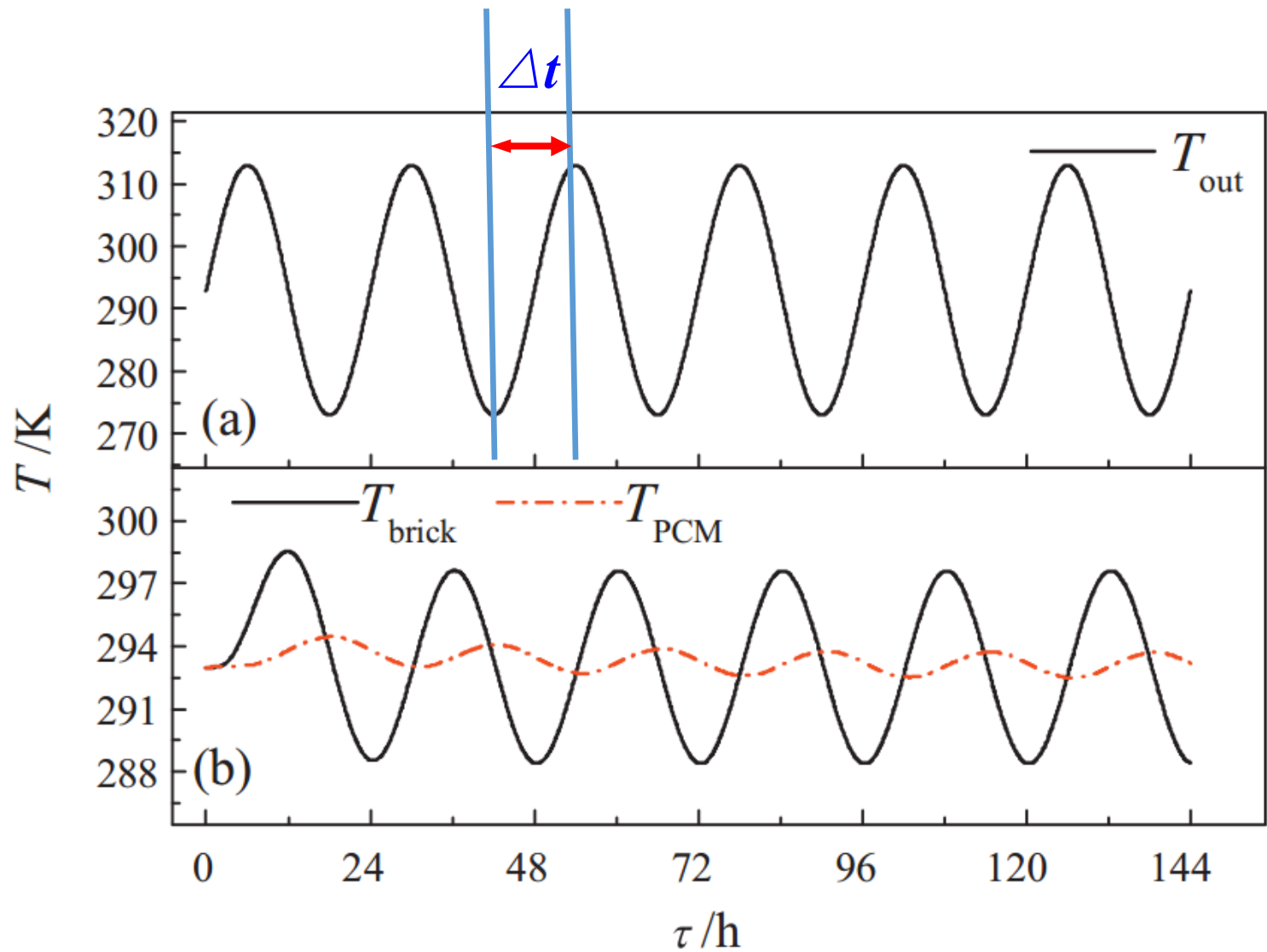
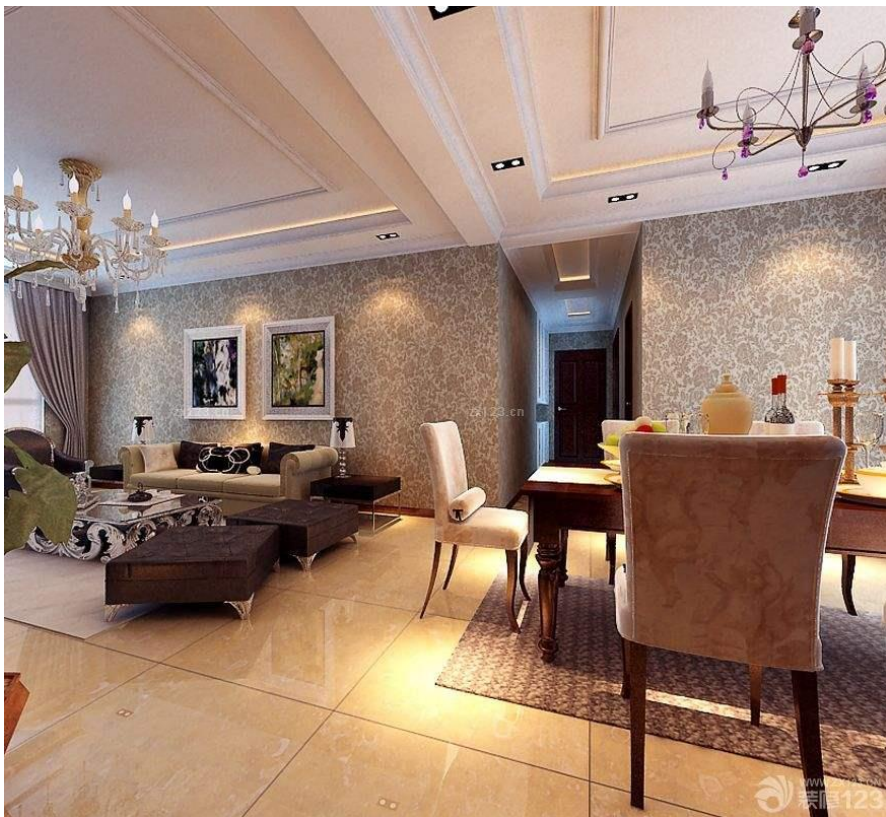
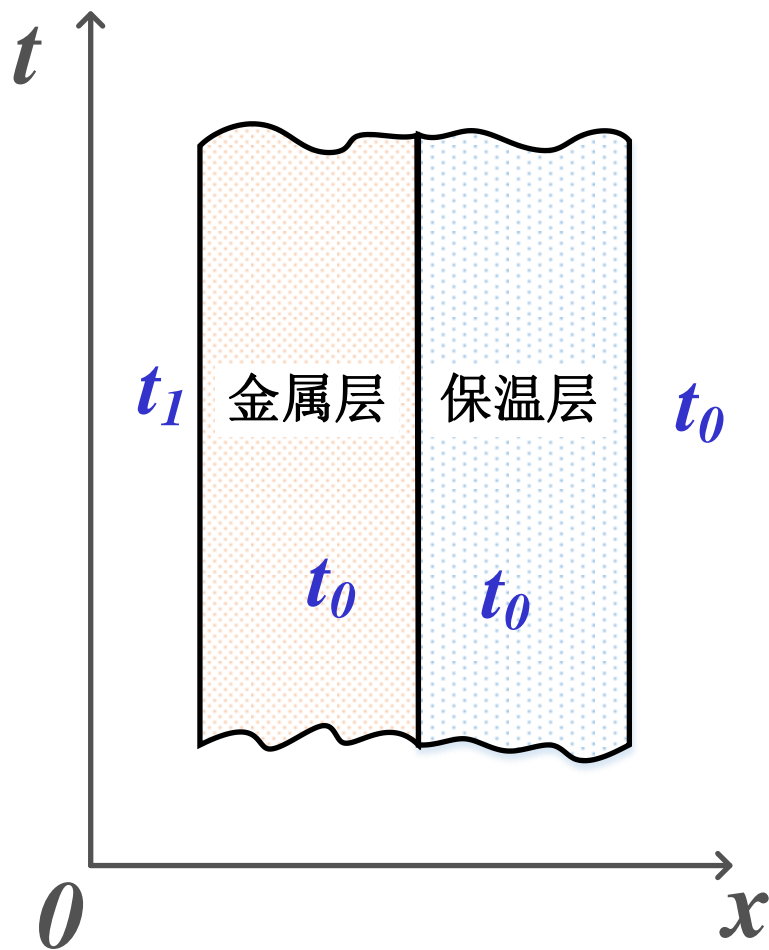


Fig. 7. Effect of PCM filling on indoor wall temperature response: (a) fluctuation of outdoor temperature, (b) indoor temperature response for both solid and PCM brick wall.



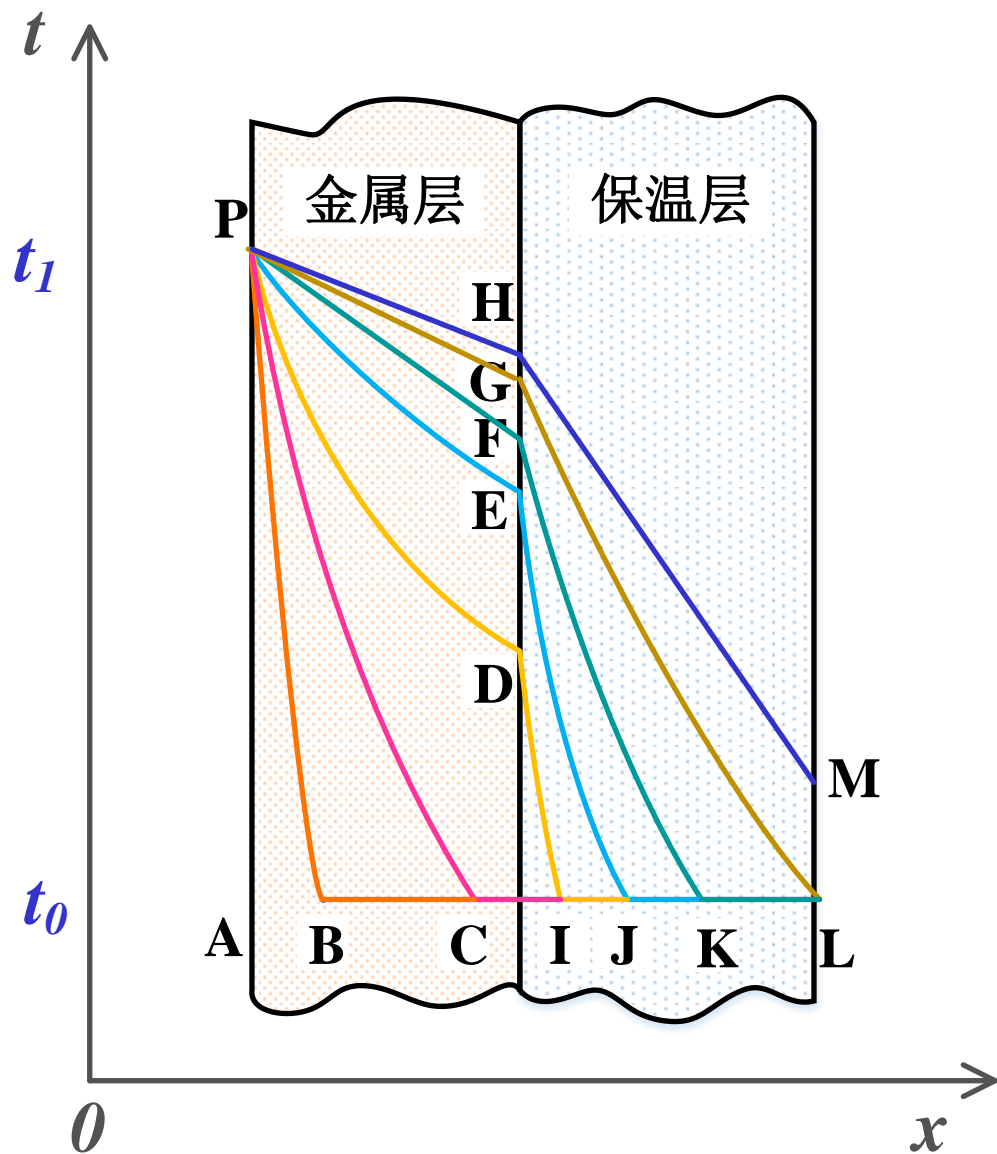
举例说明：

左侧表面温度突然升高至 t_1

右侧仍与温度为 t_0 的空气接触

试分析这种条件下金属壁及保温层中
温度变化过程。





分析:

初始: **PBL**

发展: **PDI, PEJ, PFK, PGL**

最终达到稳态时: **PHM**

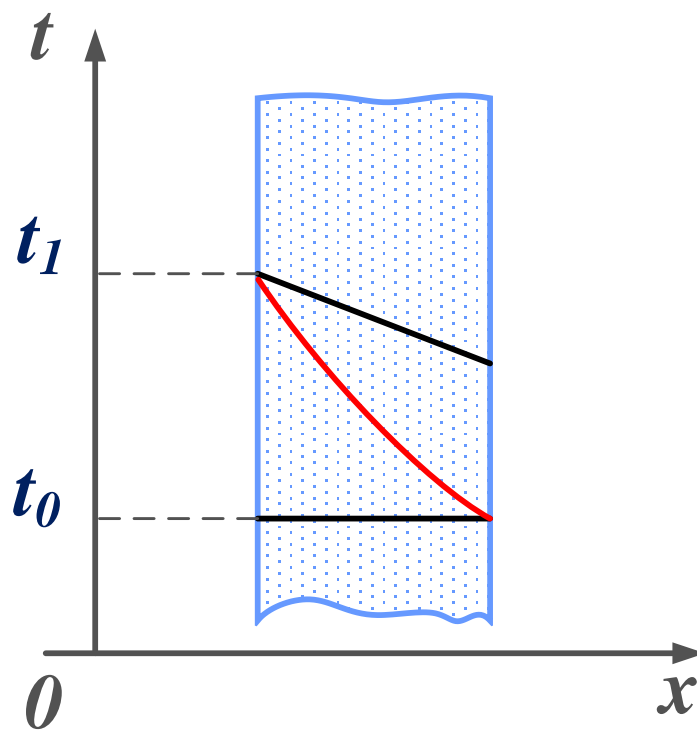
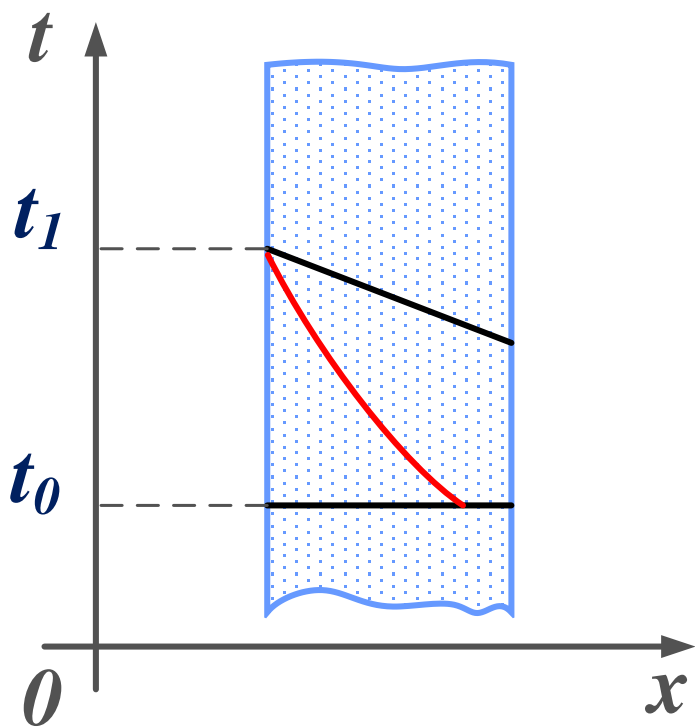
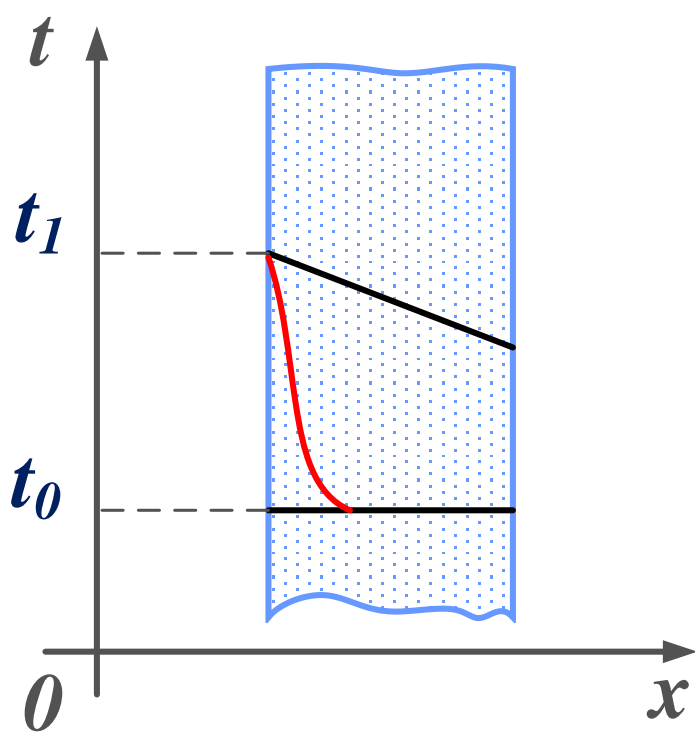
说明:

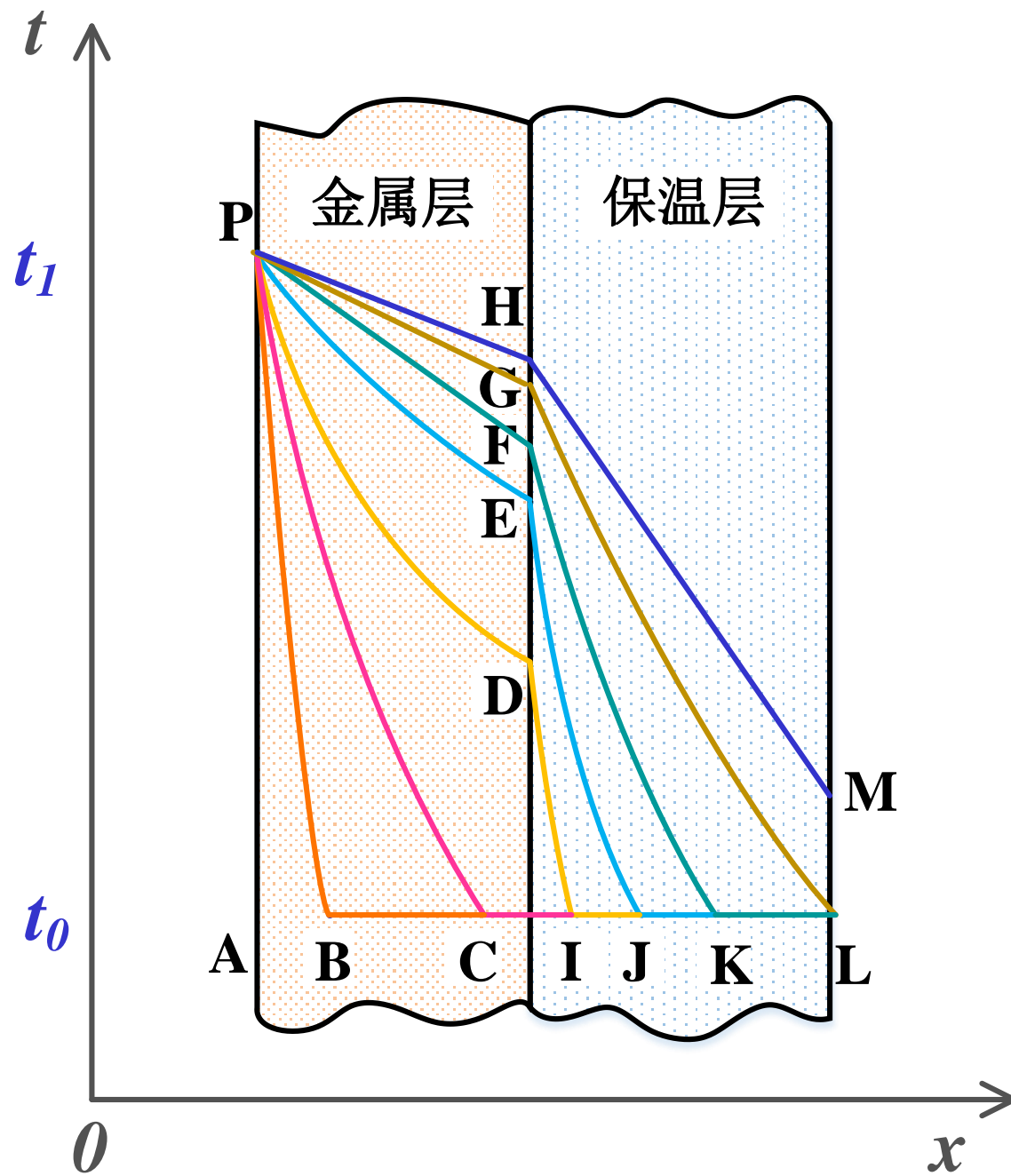
- 热扰动传递需要一定时间
- 截面间温度变化存在延迟现象

非稳态过程两个阶段

◆ **非正规状况阶段**：物体温度分布主要受**初始温度分布**的控制。

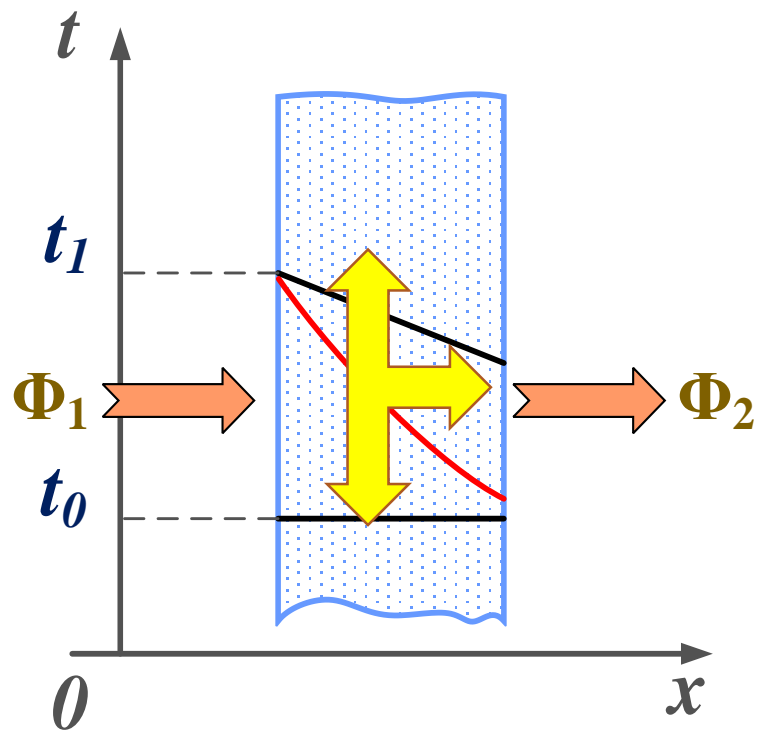
◆ **正规状况阶段**：温度分布主要**取决于热边界条件及物性**。





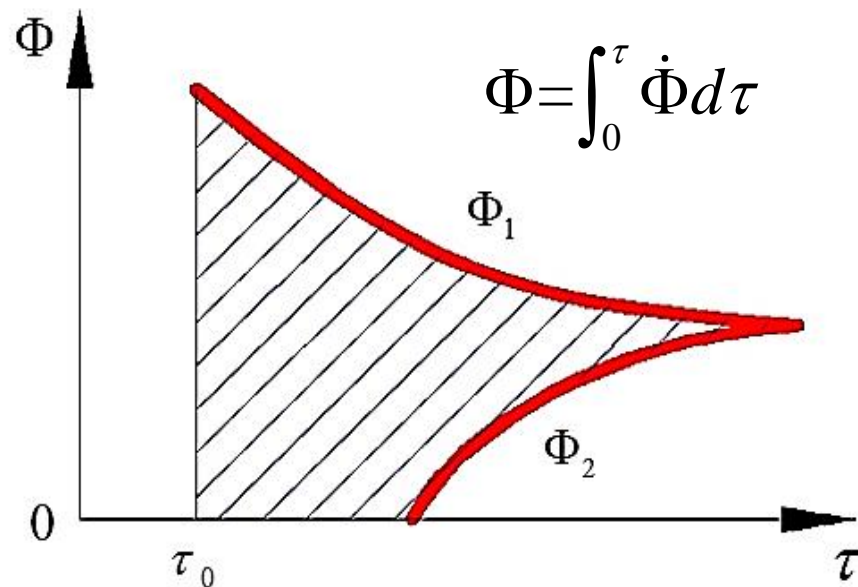
热流密度

$$\Phi_1 \neq \Phi_2$$



Φ_1 —— 板左侧导入的热流量

Φ_2 —— 板右侧导出的热流量



Φ_1 表面热流量随时间 τ 增加而逐渐减小

Φ_2 表面热流量随时间 τ 增加而逐渐增加

同一时刻流过不同截面的热流量是不同的。

非稳态导热微分方程

$$\underbrace{\rho c \frac{\partial t}{\partial \tau}}_{\text{①}} = \underbrace{\frac{\partial}{\partial x} \left(\lambda \frac{\partial t}{\partial x} \right) + \frac{\partial}{\partial y} \left(\lambda \frac{\partial t}{\partial y} \right) + \frac{\partial}{\partial z} \left(\lambda \frac{\partial t}{\partial z} \right)}_{\text{②}} + \underbrace{\dot{\Phi}}_{\text{③}}$$

非稳态项内能增量

三个坐标方向净导入的热量

内热源项

导热系数为常数时可将方程简化为

$$\frac{\partial t}{\partial \tau} = a \left(\frac{\partial^2 t}{\partial x^2} + \frac{\partial^2 t}{\partial y^2} + \frac{\partial^2 t}{\partial z^2} \right) + \frac{\dot{\Phi}}{\rho c}$$

导热微分方程 + 初始条件和边界条件

➡ 对于给定条件具有唯一解

非稳态导热的特点

◆ $t = f(\tau)$

◆ $t = f(x, \tau)$

◆ 热扩散系数 a

◆ 垂直于热量传递方向上，每一截面热流量 Q 不相等

◆ 温度分布有两个不同阶段

3.1 概述

3.2 无限大平板的非稳态导热

3.3 集总参数法

3.4 半无限大物体的非稳态导热

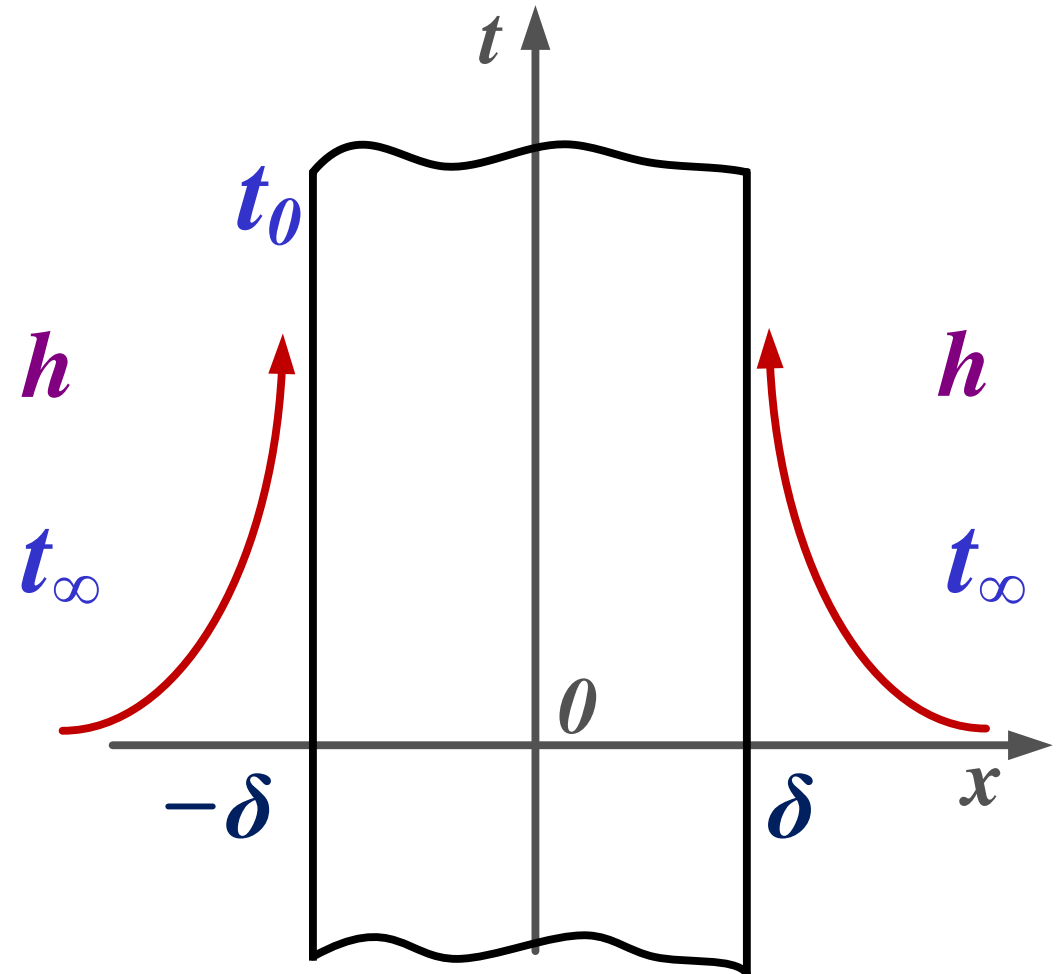
3.5 第三类边界条件下的二维和三维非稳态导热

3.2 无限大平板的非稳态导热

内部热阻不能忽略，第三类边界条件，非稳态导热，无限大平板

- (1) 均质材料；
- (2) λ, ρ, c 为常数；
- (3) 板厚度为 2δ ；
- (4) 初始温度为 t_0 ；
- (5) 初始瞬间将它放置于温度 $t_\infty = \text{常数}$ 的流体中 ($t_\infty < t_0$)；
- (6) 流体与平板表面传热系数 h 为常数。

求：确定非稳态过程中板内的温度分布



导热微分方程及定解条件:

$$\rho c \frac{\partial t}{\partial \tau} = \frac{\partial}{\partial x} \left(\lambda \frac{\partial t}{\partial x} \right) + \frac{\partial}{\partial y} \left(\lambda \frac{\partial t}{\partial y} \right) + \frac{\partial}{\partial z} \left(\lambda \frac{\partial t}{\partial z} \right) + \dot{\Phi}$$

导热微分方程

$$\frac{\partial t}{\partial \tau} = a \frac{\partial^2 t}{\partial x^2} \quad (0 < x < \delta, \tau > 0)$$

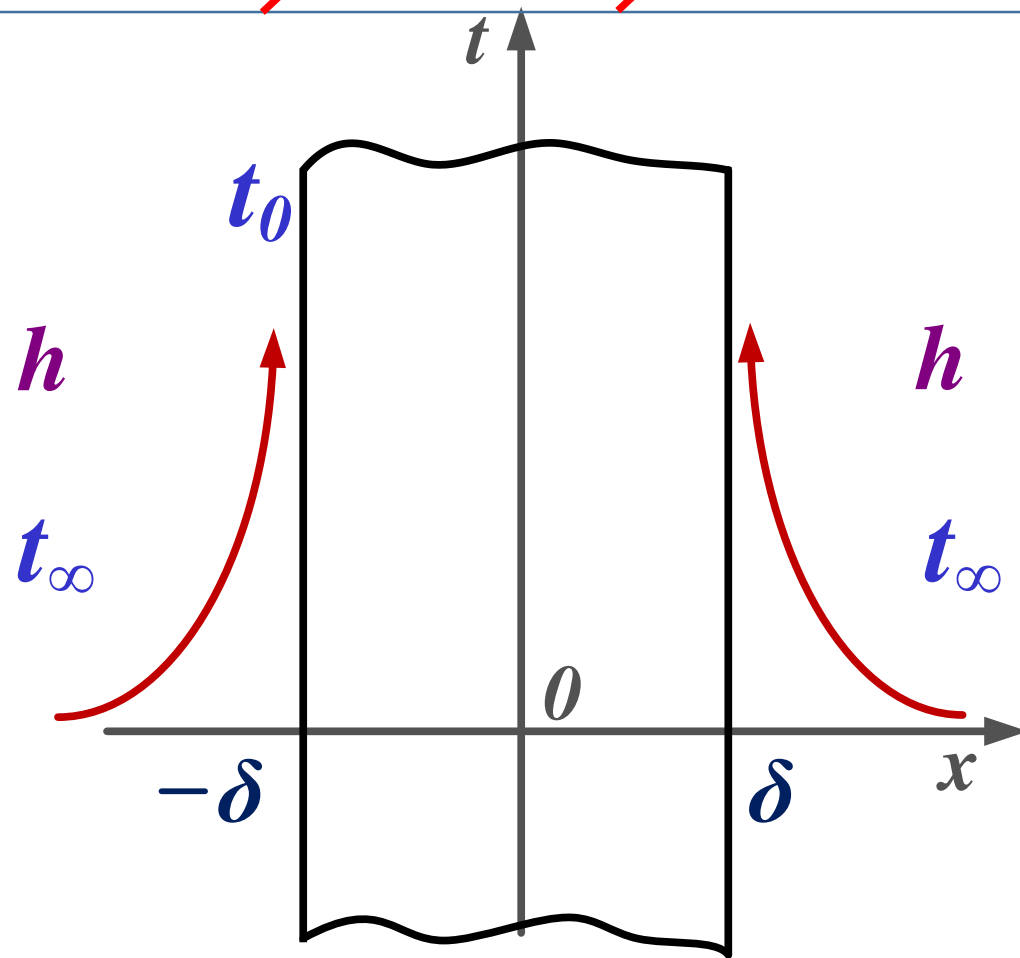
初始条件

$$t(x, 0) = t_0 \quad (0 \leq x \leq \delta)$$

边界条件

$$\left. \frac{\partial t(x, \tau)}{\partial x} \right|_{x=0} = 0$$

$$h[t(\delta, \tau) - t_\infty] = -\lambda \left. \frac{\partial t(x, \tau)}{\partial x} \right|_{x=\delta}$$



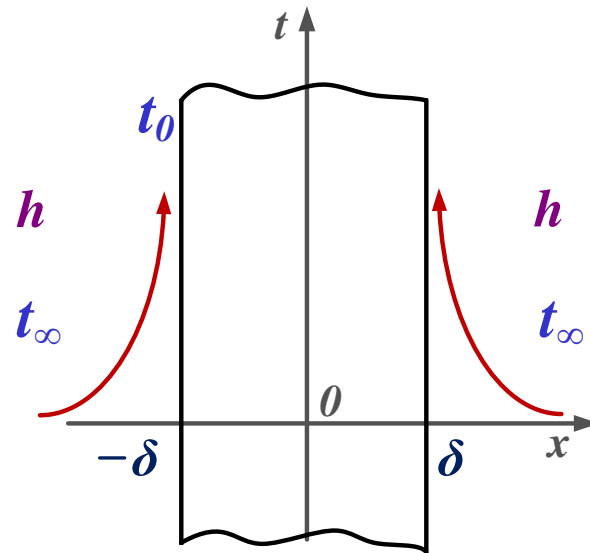
变量替换和无因次化

分别引入 过余温度 、 无因次过余温度 和 无因次坐标

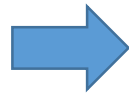
$$\theta = t(x, \tau) - t_{\infty}, \quad \bar{\theta} = \frac{t(x, \tau) - t_{\infty}}{t_0 - t_{\infty}}, \quad \bar{x} = \frac{x}{\delta}$$

定义

$$Bi = \frac{h\delta}{\lambda}, \quad Fo = \frac{a\tau}{\delta^2}$$



$$\begin{cases} \frac{\partial t}{\partial \tau} = a \frac{\partial^2 t}{\partial x^2} & (0 < x < \delta, \tau > 0) \\ t(x, 0) = t_0 & (0 \leq x \leq \delta) \\ \frac{\partial t(x, \tau)}{\partial x} \Big|_{x=0} = 0 \\ h[t(\delta, \tau) - t_{\infty}] = -\lambda \frac{\partial t(x, \tau)}{\partial x} \Big|_{x=\delta} \end{cases}$$



$$\begin{cases} \frac{\partial \bar{\theta}}{\partial Fo} = \frac{\partial^2 \bar{\theta}}{\partial \bar{x}^2} & 0 < \bar{x} < 1, \tau > 0 \\ Fo = 0, \quad \bar{\theta}(\bar{x}, 0) = 1 \\ \bar{x} = 0, \quad \frac{\partial \bar{\theta}(\bar{x}, Fo)}{\partial \bar{x}} = 0 \\ \bar{x} = 1, \quad \frac{\partial \bar{\theta}(\bar{x}, Fo)}{\partial \bar{x}} = Bi \bar{\theta}(\bar{x}, Fo) \end{cases}$$

问题的解析解

$$\bar{\theta} = f_1(\bar{x}, Fo, Bi)$$

通过分离变量的方法获得级数形式的解

$$\frac{\partial \bar{\theta}}{\partial Fo} = \frac{\partial^2 \bar{\theta}}{\partial \bar{x}^2} \quad 0 < x < \delta, \tau > 0$$

$$\left\{ \begin{array}{l} Fo = 0 \quad \bar{\theta}(\bar{x}, 0) = 1 \\ \bar{x} = 0, \quad \frac{\partial \bar{\theta}(\bar{x}, Fo)}{\partial \bar{x}} = 0 \\ \bar{x} = 1, \quad \frac{\partial \bar{\theta}(\bar{x}, Fo)}{\partial \bar{x}} = Bi \bar{\theta}(\bar{x}, Fo) \end{array} \right.$$

$$\bar{\theta} = 2 \sum_{n=1}^{\infty} \frac{\sin(\mu_n)}{\sin(\mu_n) \cos(\mu_n) + \mu_n} \cos(\mu_n \bar{x}) e^{-\mu_n^2 Fo}$$

特征值 μ_n

$$\tan \mu_n = \frac{h\delta}{\lambda \mu_n} = \frac{Bi}{\mu_n}$$

Bi, Fo 物理意义

毕渥数 $Bi = \frac{h\delta}{\lambda} = \frac{\delta}{\lambda} / \frac{1}{h} = \frac{R_{\lambda}}{R_h} = \frac{\text{内部导热热阻}}{\text{外部传热热阻}}$

傅里叶数 $Fo = \frac{a\tau}{l^2} = \frac{\tau}{l^2 / a}$

热扰动经 l 距离后传播到 l^2 面积上所需要的时间

对于一个特征数，要求掌握：

定义式+物理意义，能够理解定义式中各个参数的意义。

毕渥简介

毕渥毕业于巴黎综合理工学院。他先于Fourier研究了固体的导热问题，并认识到应当将表面的对流传热考虑到导热问题的分析中，但未能获得分析解。他还在光的偏振研究方面有所贡献，并因此获得皇家学会奖。

- 在1800年代初期，他研究了通过溶液的光的偏振，以及电流和磁场之间的关系。毕渥-萨伐尔定律就是以他和菲利克斯·萨伐尔命名的。
- 毕渥是第一个发现云母独特的光学性质，因此以云母为基础的矿物黑云母就是以他命名的。
- 1804年，毕渥和约瑟夫·路易·盖·吕萨克制造了一个热气球，上升到了五千米的高度，目的是为了研究地球的大气层。
- 月球上有一个陨石坑是以毕渥命名的。



J.W.Biot (1774-1862)
法国物理学家

无量纲数（特征数/准则数）

基本思想：

当所研究的问题非常复杂，涉及的参数很多，为了减少问题所涉及的参数，将这样一些参数组合起来，使之能表征一类物理现象或物理过程的主要特征，并且没有量纲。

这样的无量纲数又被称为特征数，或准则数

特征数涉及到的几何尺度称为特征长度，一般用符号 l 表示。

对于一个特征数，要求掌握：定义式+物理意义，能够理解定义式中各个参数的意义。



无量纲温度分布

$$\bar{\theta} = 2 \sum_{n=1}^{\infty} \frac{\sin(\mu_n)}{\sin(\mu_n) \cos(\mu_n) + \mu_n} \cos(\mu_n \bar{x}) e^{-\mu_n^2 Fo}$$

当 $Fo = \frac{a\tau}{\delta^2} \geq 0.2$ 时，级数除第一项外可以忽略，此时

$$\bar{\theta} = 2 \exp(-\mu_1^2 Fo) \frac{\sin(\mu_1)}{\sin(\mu_1) \cos(\mu_1) + \mu_1} \cos(\mu_1 \bar{x})$$

在平壁内任意一点上， $\ln \bar{\theta} \propto -\mu_1^2 Fo$

$$\bar{\theta} = f_1(\bar{x}, Fo, Bi)$$

此时称为**导热的正规状况阶段**

这一特点可用来测量热扩散率 a

正规状况阶段

$$\bar{\theta} = 2 \exp(-\mu_1^2 Fo) \frac{\sin(\mu_1)}{\sin(\mu_1) \cos(\mu_1) + \mu_1} \cos(\mu_1 \bar{x})$$

在对称面上, $\bar{x} = 0$ $\cos(\mu_1 \bar{x}) = 1$

$$\bar{\theta}_m = 2 \exp(-\mu_1^2 Fo) \frac{\sin(\mu_1)}{\sin(\mu_1) \cos(\mu_1) + \mu_1} = f_2(Fo, Bi)$$

对于任何位置, 与对称面过余温度的比值

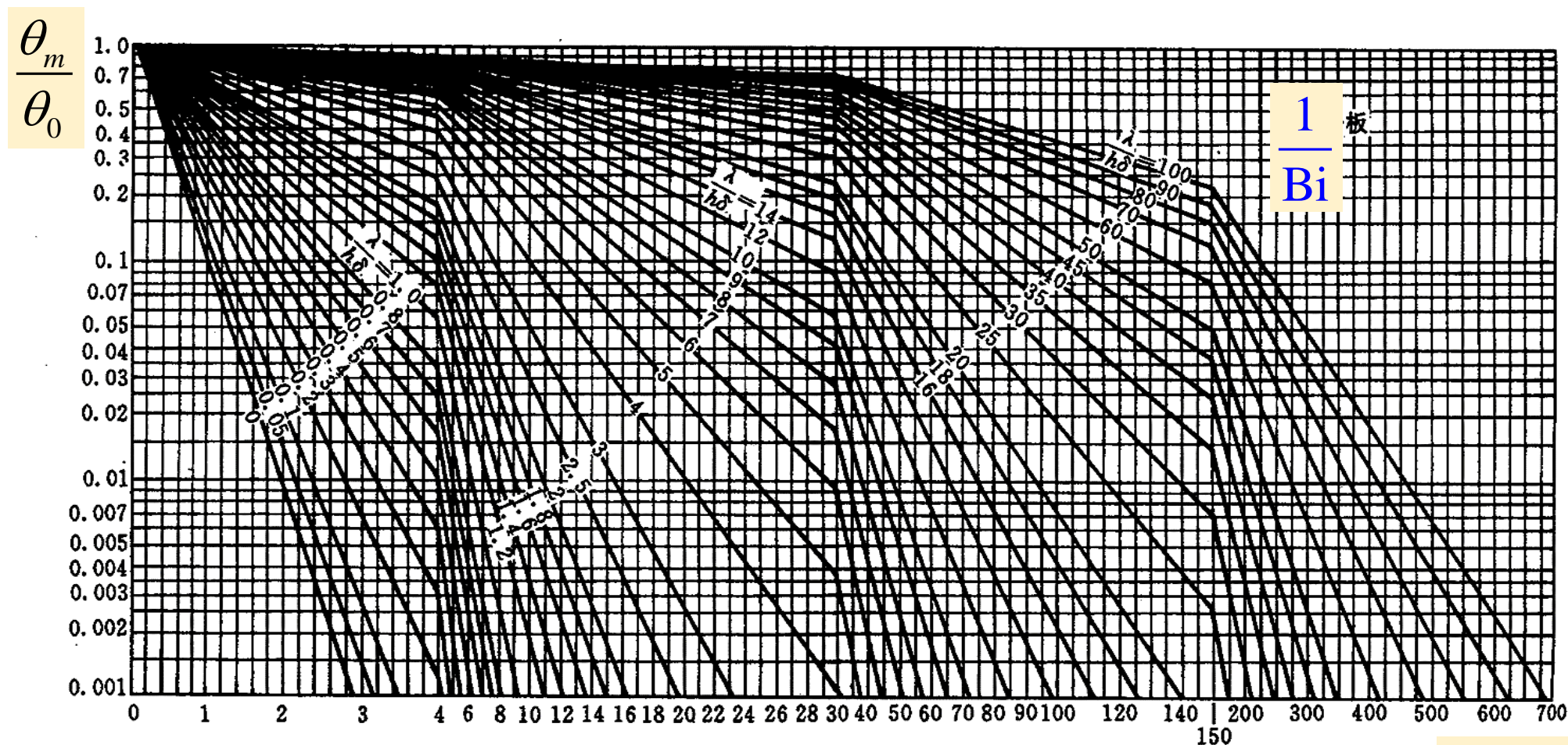
$$\frac{\bar{\theta}}{\bar{\theta}_m} = \cos(\mu_1 \bar{x}) = f_3(Bi, \bar{x})$$

在任意位置,

$$\bar{\theta} = \frac{\bar{\theta}}{\bar{\theta}_m} \cdot \bar{\theta}_m = f_2(Fo, Bi) \cdot f_3(Bi, \bar{x})$$

图解法 对称面

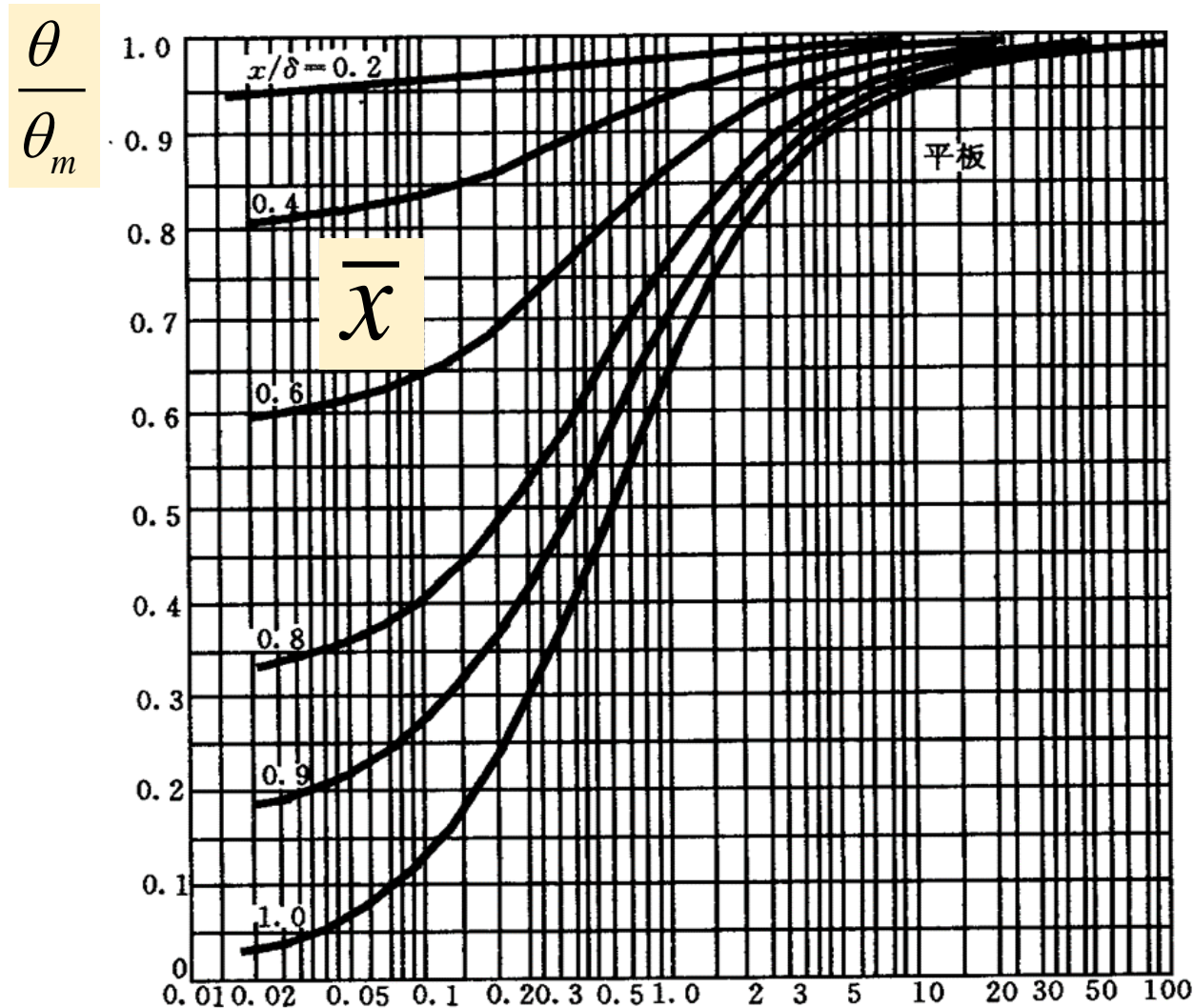
$$\bar{\theta}_m = 2 \exp(-\mu_1^2 Fo) \frac{\sin(\mu_1)}{\sin(\mu_1) \cos(\mu_1) + \mu_1} = f_2(Fo, Bi)$$



无限大平壁中心温度的诺谟图

$$Fo = \frac{a\tau}{l^2}$$

任何位置与对称面过余温度的比值



无限大平壁的 θ/θ_m 曲线

$$\frac{1}{Bi} = \frac{\lambda}{h\delta}$$

$$\frac{\bar{\theta}}{\bar{\theta}_m} = \cos(\mu_1 \bar{x}) = f_3(Bi, \bar{x})$$

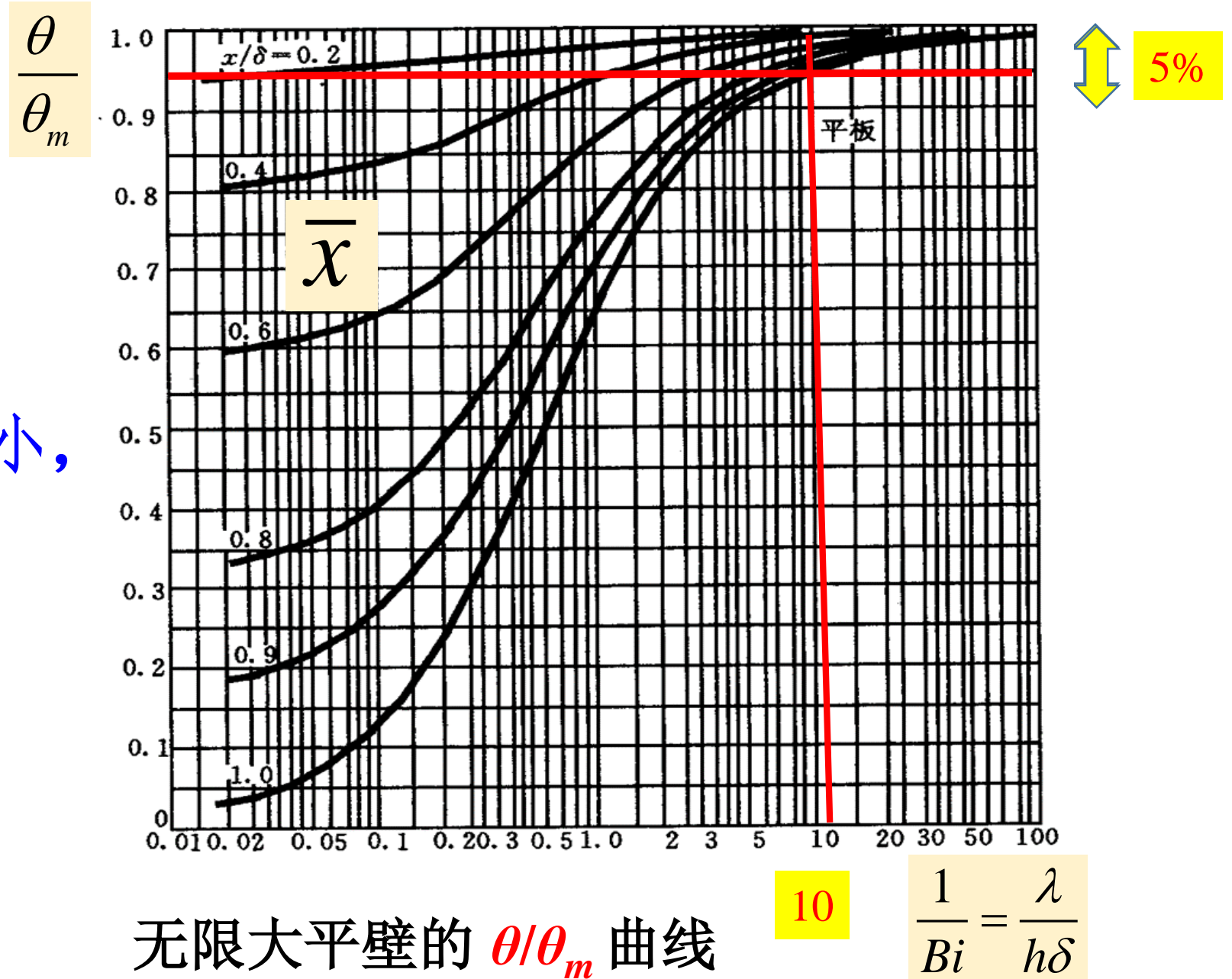
在任意位置,

$$\bar{\theta} = \frac{\bar{\theta}}{\bar{\theta}_m} \cdot \bar{\theta}_m$$

$$= f_2(Fo, Bi) \cdot f_3(Bi, \bar{x})$$

诺模图的启示

当 $Bi \leq 0.1$ 时，
平板内部温度变化很小，
趋于一致



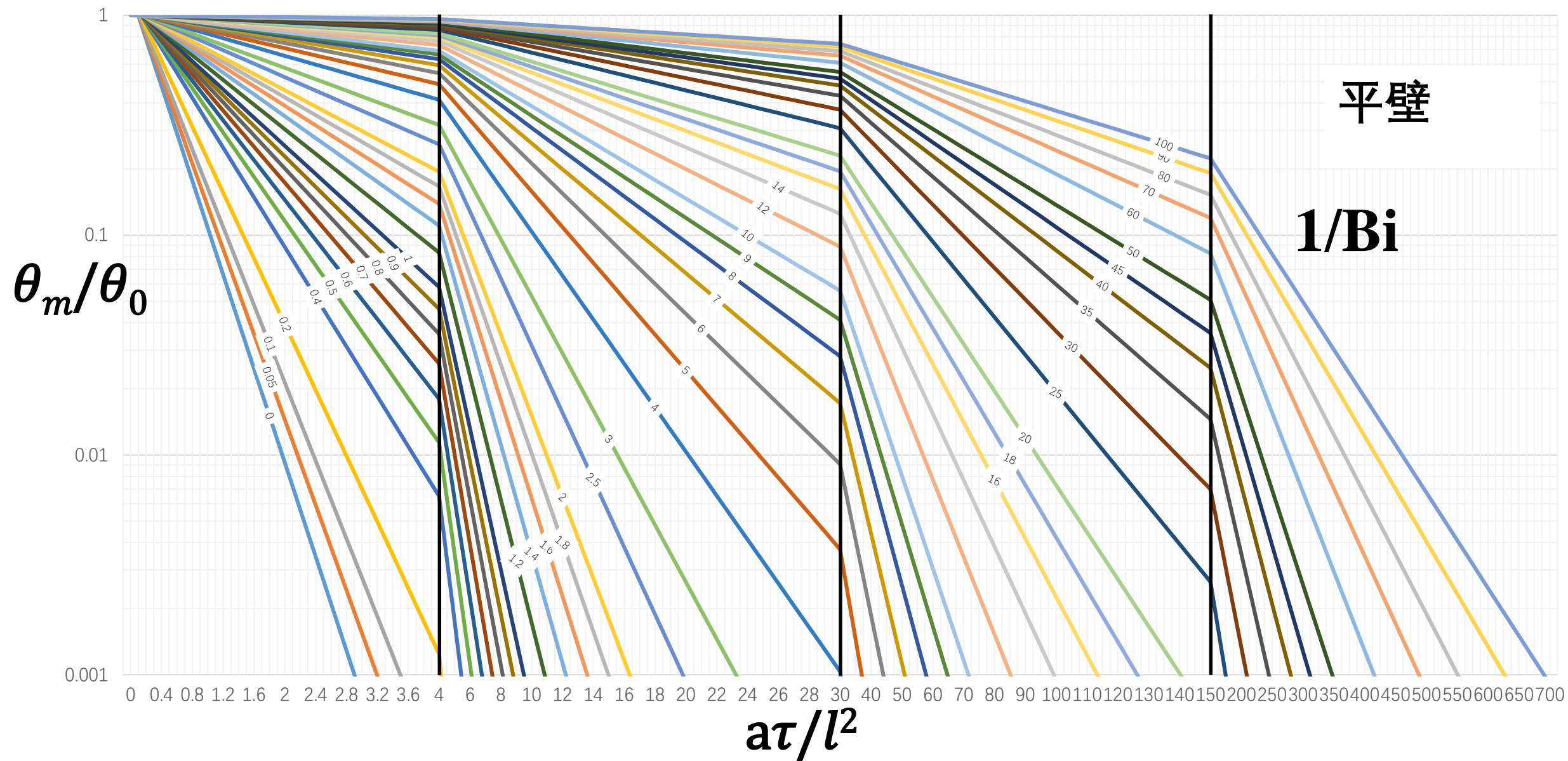
$$\bar{\theta}_m = 2 \exp(-\mu_1^2 Fo) \frac{\sin(\mu_1)}{\sin(\mu_1) \cos(\mu_1) + \mu_1}$$

$$= f_2(Fo, Bi)$$

$$\tan \mu_n = \frac{h\delta}{\lambda \mu_n} = \frac{Bi}{\mu_n}$$

1/Bi	μ1	sinμ1	cosμ1	Fo	θm
0	1.57	0.999999683	0.000796327	0	1.273239141
	1.57	0.999999683	0.000796327	0.2	0.777698905
	1.57	0.999999683	0.000796327	0.4	0.475021201
	1.57	0.999999683	0.000796327	0.6	0.290144605
	1.57	0.999999683	0.000796327	0.8	0.177221336
	1.57	0.999999683	0.000796327	1	0.10824741
	1.57	0.999999683	0.000796327	1.2	0.066117895
	1.57	0.999999683	0.000796327	1.4	0.040385041
	1.57	0.999999683	0.000796327	1.6	0.024667324
	1.57	0.999999683	0.000796327	1.8	0.015066887
	1.57	0.999999683	0.000796327	2	0.009202907
	1.57	0.999999683	0.000796327	2.2	0.005621168
	1.57	0.999999683	0.000796327	2.4	0.003433429
	1.57	0.999999683	0.000796327	2.6	0.00209715
	1.57	0.999999683	0.000796327	2.8	0.001280947
	1.57	0.999999683	0.000796327	3	0.000782407
0.05	1.496	0.997204059	0.074726605	0	1.269904918
	1.496	0.997204059	0.074726605	0.2	0.811670207
	1.496	0.997204059	0.074726605	0.4	0.51878571
	1.496	0.997204059	0.074726605	0.6	0.331586168
	1.496	0.997204059	0.074726605	0.8	0.211936035
	1.496	0.997204059	0.074726605	1	0.135460666
	1.496	0.997204059	0.074726605	1.2	0.086580802
	1.496	0.997204059	0.074726605	1.4	0.055338834
	1.496	0.997204059	0.074726605	1.6	0.035370273
	1.496	0.997204059	0.074726605	1.8	0.022607202
	1.496	0.997204059	0.074726605	2	0.014449579

诺谟图



例题

一块初温为 $20\text{ }^{\circ}\text{C}$ ，厚度为 10 cm 的钢板
密度为 7800 kg/m^3 ,比热容为 460.5 J/(kg.K) ,导热系数为 53.5 W/(m.K) ,
放入 $1200\text{ }^{\circ}\text{C}$ 的加热炉中加热，表面传热系数为 $407\text{ W/(m}^2\text{.K)}$ 。
问单面加热 30 min 时中心温度为多少？
如两面加热要达到相同的中心温度需要多少时间？

解题思路

正规状况阶段

$$\bar{\theta} = 2 \exp(-\mu_1^2 Fo) \frac{\sin(\mu_1)}{\sin(\mu_1) \cos(\mu_1) + \mu_1} \cos(\mu_1 \bar{x})$$

在对称面上, $\bar{x} = 0$ $\cos(\mu_1 \bar{x}) = 1$

$$\bar{\theta}_m = 2 \exp(-\mu_1^2 Fo) \frac{\sin(\mu_1)}{\sin(\mu_1) \cos(\mu_1) + \mu_1} = f_2(Fo, Bi)$$

3.1 概述

3.2 无限大平板的非稳态导热

3.3 集总参数法

3.4 半无限大物体的非稳态导热

3.5 第三类边界条件下的二维和三维非稳态导热

3-3 集总参数法

从前面的Nomograph里可以看出，当毕渥数 Bi 满足

无限大平壁 $Bi = \frac{h\delta}{\lambda} \leq 0.1$

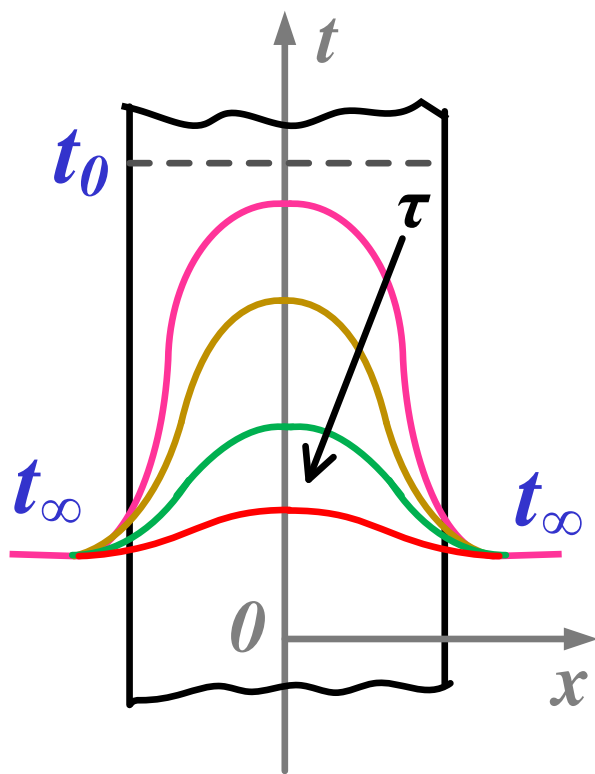
无限长圆柱体 $Bi = \frac{hR}{\lambda} \leq 0.1$

此时，固体内的过余温度的偏差小于5%。



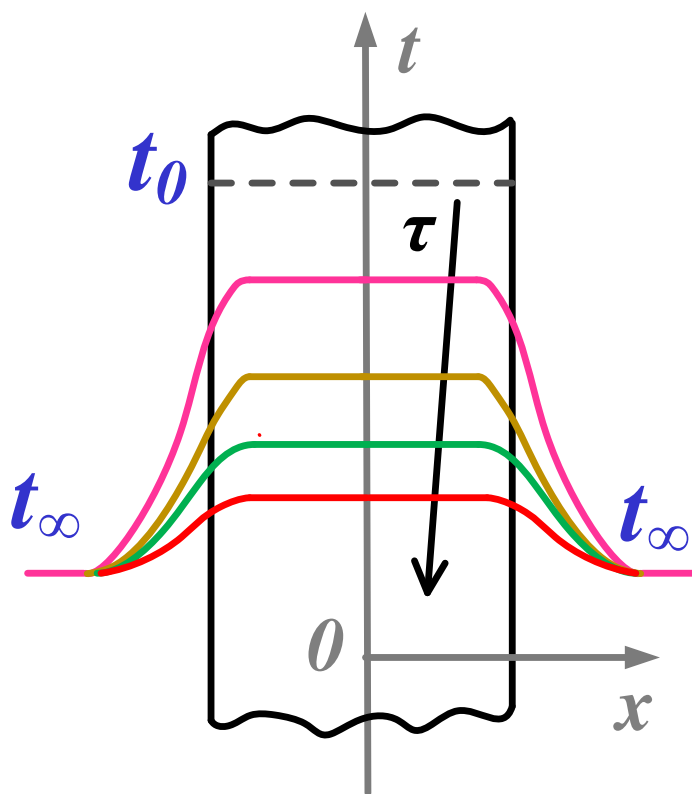
Bi数对温度分布的影响

$$\frac{1}{h} \ll \frac{\delta}{\lambda}$$



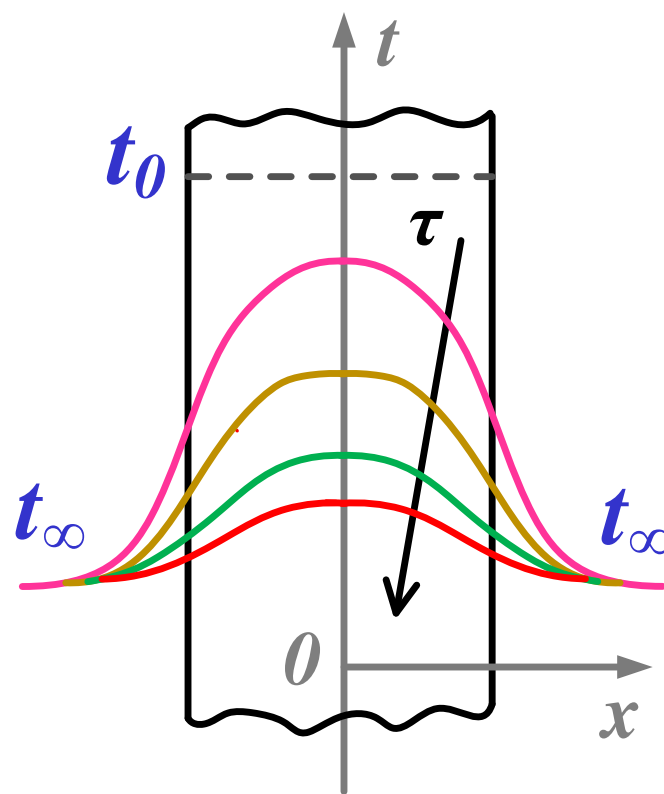
(a) $Bi \rightarrow \infty$

$$\frac{1}{h} \gg \frac{\delta}{\lambda}$$



(b) $Bi \rightarrow 0$

$$\frac{1}{h} = \frac{\delta}{\lambda}$$



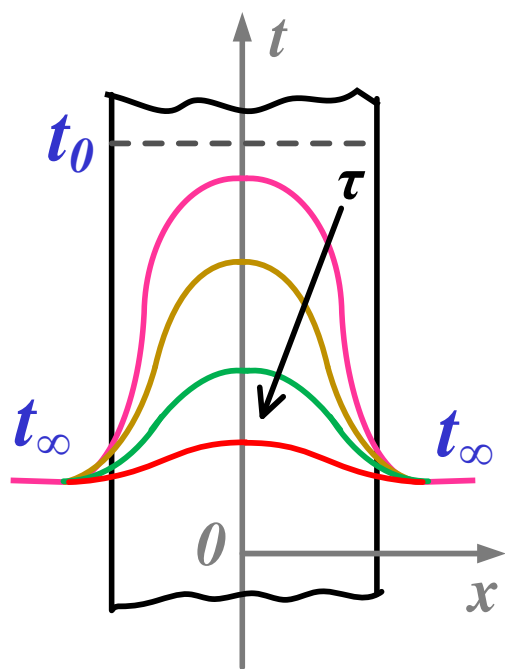
(c) Bi 为有限大小

$$Bi = \frac{h\delta}{\lambda} = \frac{\delta}{\lambda} / \frac{1}{h} = \frac{R_{\lambda}}{R_h} = \frac{\text{内部导热热阻}}{\text{外部传热热阻}}$$

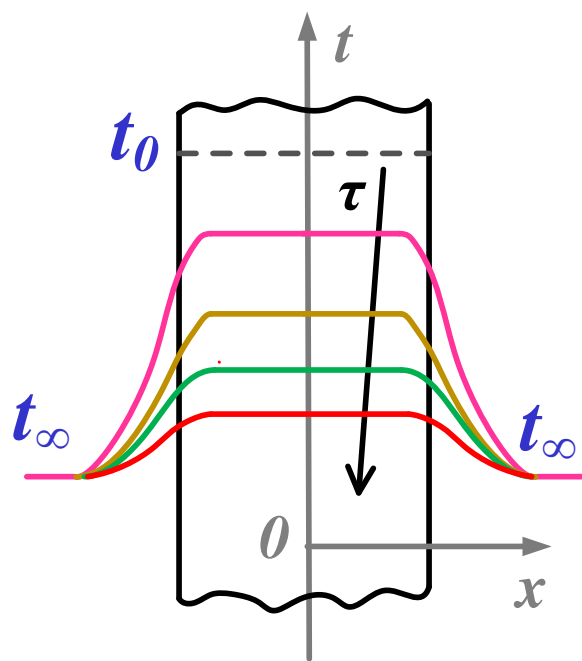
特征数

当 $Bi \rightarrow \infty$ 时 $\Rightarrow R_{\lambda} \gg R_h$ 可以忽略对流换热热阻

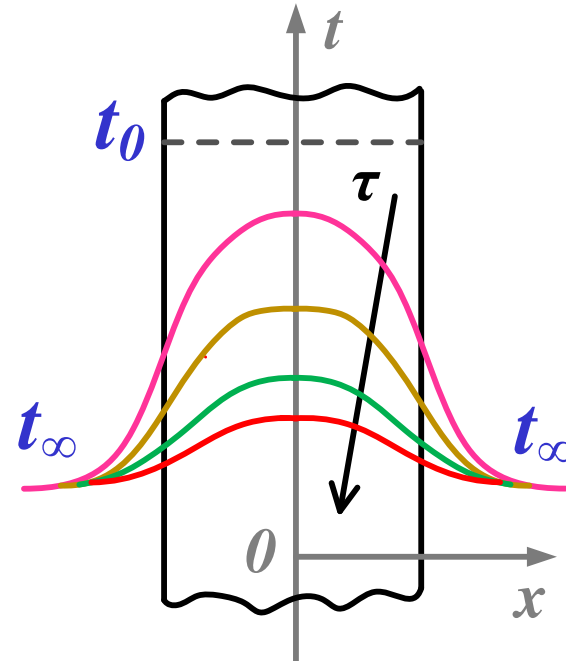
当 $Bi \rightarrow 0$ 时 $\Rightarrow R_{\lambda} \ll R_h$ 可以忽略内部导热热阻



(a) $Bi \rightarrow \infty$



(b) $Bi \rightarrow 0$



(c) Bi 为有限大小

毕渥简介

毕渥毕业于巴黎综合理工学院。他先于Fourier研究了固体的导热问题，并认识到应当将表面的对流传热考虑到导热问题的分析中，但未能获得分析解。他还在光的偏振研究方面有所贡献，并因此获得皇家学会奖。

- 在1800年代初期，他研究了通过溶液的光的偏振，以及电流和磁场之间的关系。毕渥-萨伐尔定律就是以他和菲利克斯·萨伐尔命名的。
- 毕渥是第一个发现云母独特的光学性质，因此以云母为基础的矿物黑云母就是以他命名的。
- 1804年，毕渥和约瑟夫·路易·盖·吕萨克制造了一个热气球，上升到了五千米的高度，目的是为了研究地球的大气层。
- 月球上有一个陨石坑是以毕渥命名的。



J.W.Biot (1774-1862)
法国物理学家

无量纲数（特征数/准则数）

基本思想：

当所研究的问题非常复杂，涉及的参数很多，为了减少问题所涉及的参数，将这样一些参数组合起来，使之能表征一类物理现象或物理过程的主要特征，并且没有量纲。

这样的无量纲数又被称为特征数，或准则数

特征数涉及到的几何尺度称为特征长度，一般用符号 l 表示。

对于一个特征数，要求掌握：定义式+物理意义，能够理解定义式中各个参数的意义。



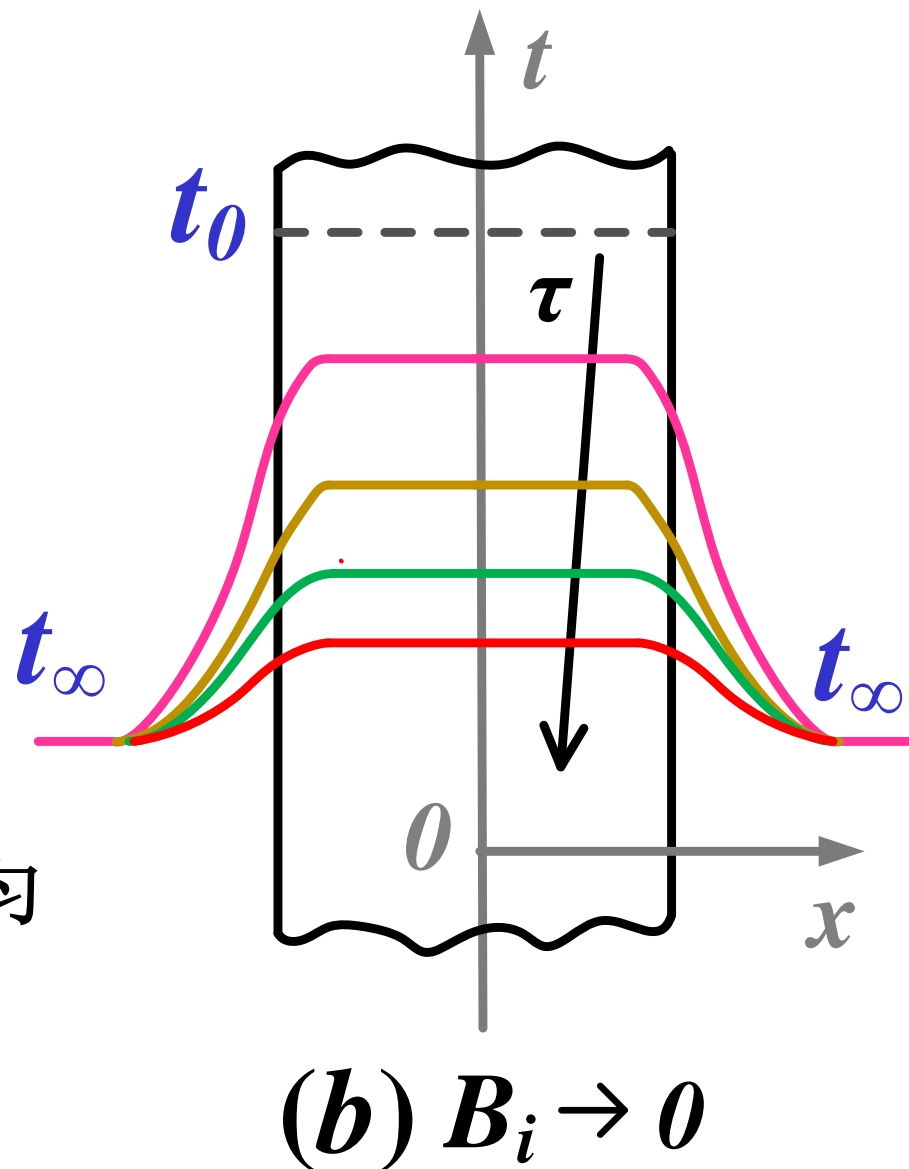
集总参数法

集总体 ($Bi \rightarrow 0$)

- 内部导热热阻 \ll 表面换热热阻
- 非稳态导热体

零维问题

- 任意时刻导热体内部各点温度接近均匀
- 导热体的温度只随时间变化
- 不随空间变化。



温度变化规律的分析

设有一常物性，任意形状的固体

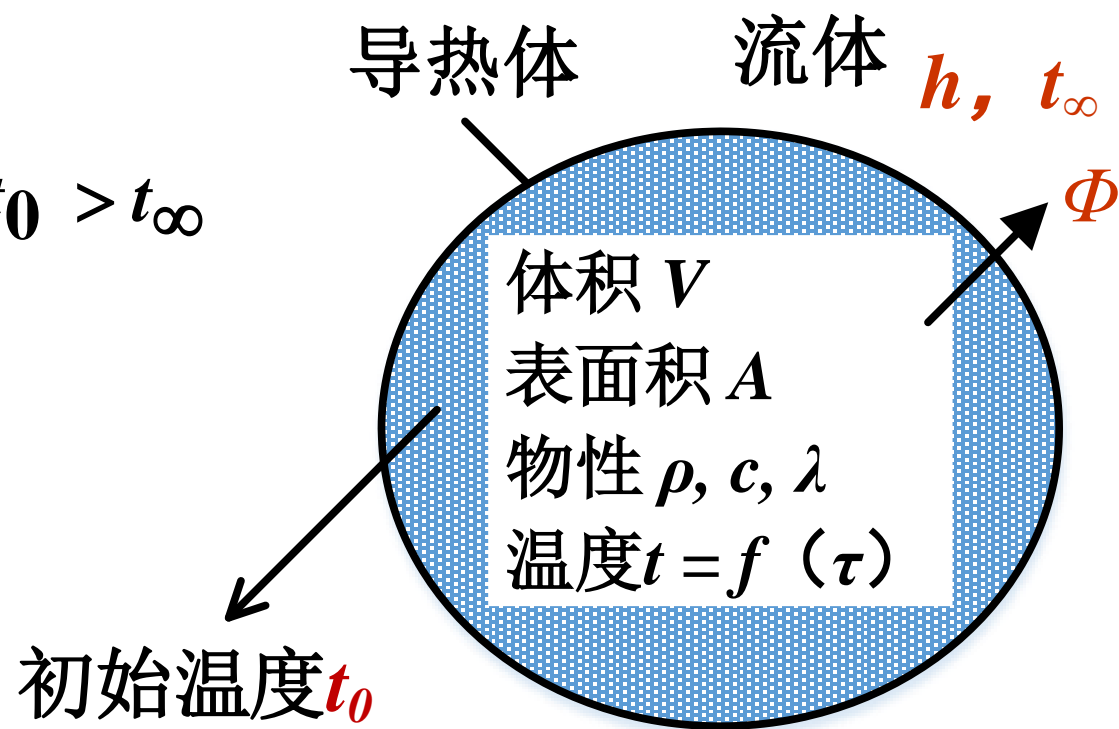
体积为 V , 表面积为 A , 初始温度为 t_0 ,

突然将它置于温度恒为 t_∞ 的流体中。 $t_0 > t_\infty$

h 及固体的物性参数均保持常数。

试求物体温度随时间的依变关系。

$$t = f(\tau)$$



能量平衡方程

传入物体的净热量+物体自生热=物体储存能的变化

单位时间内

$$\text{传入物体的净热量} = -hA(t - t_{\infty})$$

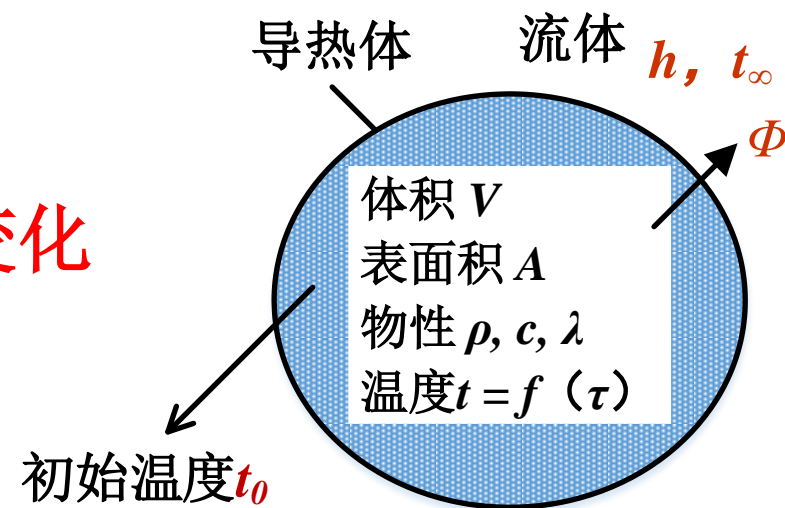
$$\text{物体自生热} = 0$$

$$\text{物体内存存能量的变化} = dU = \rho c V \frac{dt}{d\tau}$$

将各项代入能量平衡方程, 得

$$hA(t - t_{\infty}) + \rho c V \frac{dt}{d\tau} = 0$$

零维问题, 无几何边界, 只有初始条件 $\tau = 0, t = t_0$



求解过程

$$hA(t - t_{\infty}) + \rho c V \frac{dt}{d\tau} = 0$$

$$\frac{dt}{d\tau} = -\frac{hA}{\rho c V} (t - t_{\infty})$$

引入 过余温度

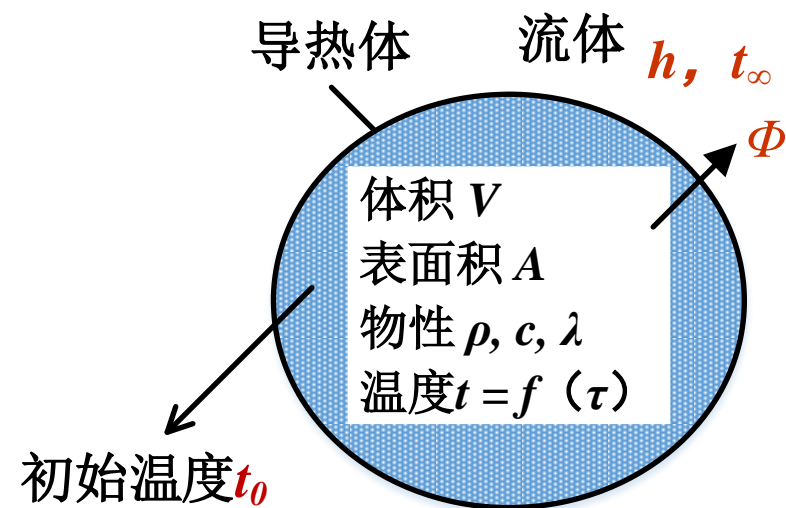
$$\theta = t - t_{\infty}$$

则得

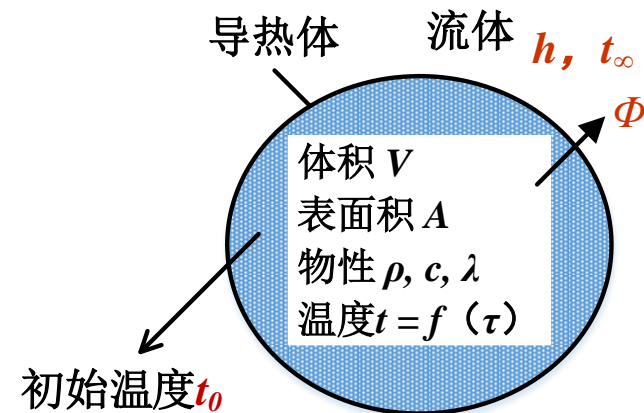
$$\frac{d\theta}{d\tau} = -\frac{hA}{\rho c V} \theta$$

解方程，采用 分离变量法

$$\frac{d\theta}{\theta} = -\frac{hA}{\rho c V} d\tau$$



$$\frac{d\theta}{\theta} = -\frac{hA}{\rho c V} d\tau$$



积分

$$\int_{\theta_0}^{\theta} \frac{d\theta}{\theta} = -\int_0^{\tau} \frac{hA}{\rho c V} d\tau \Rightarrow \ln \frac{\theta}{\theta_0} = -\frac{hA}{\rho c V} \tau$$

$$\frac{\theta}{\theta_0} = \frac{t - t_{\infty}}{t_0 - t_{\infty}} = e^{-\frac{hA}{\rho c V} \tau}$$

物体中的温度
呈指数分布

温度变化规律

$$\frac{\theta}{\theta_0} = \frac{t - t_\infty}{t_0 - t_\infty} = \exp\left(-\frac{hA}{\rho c V} \tau\right)$$

$$\frac{hA}{\rho c V} \tau = \frac{hV}{\lambda A} \cdot \frac{\lambda A^2}{V^2 \rho c} \tau = \frac{h(V/A)}{\lambda} \cdot \frac{a\tau}{(V/A)^2} = Bi_v \cdot Fo_v$$

无量纲热阻

无量纲时间

$$\frac{\theta}{\theta_0} = \frac{t - t_\infty}{t_0 - t_\infty} = \exp\left(-\frac{hA}{\rho c V} \tau\right) = \exp(-Bi_v \cdot Fo_v)$$

注意：

下脚标“v”表示用 (V/A) 作特征尺寸，记为 l_c

$$\frac{\theta}{\theta_0} = \frac{t - t_\infty}{t_0 - t_\infty} = \exp\left(-\frac{hA}{\rho c V} \tau\right) = \exp(-Bi_v \cdot Fo_v)$$

讨论:

Fo, Bi 对温度分布影响

➤ $Fo \uparrow \rightarrow \theta/\theta_0 \downarrow$;

➤ Fo 不变, $Bi \uparrow \rightarrow \theta/\theta_0 \downarrow$;

➤ $Bi \rightarrow 0$, 与集总参数法的解相同;

➤ $Bi \rightarrow \infty$, 转化为第一类边界条件下的解。

$$\frac{\theta}{\theta_0} = \frac{t - t_{\infty}}{t_0 - t_{\infty}} = \exp\left(-\frac{hA}{\rho c V} \tau\right) = \exp(-Bi_v \cdot Fo_v)$$

方程分析:

- (1) 物体内过余温度随时间呈指数衰减，且经历时间愈长，过余温度趋于0，即物体温度趋于流体温度。
- (2) 在过程开始阶段温度变化快，随后逐渐减慢。

方程指数的量纲分析:

$$\frac{hA}{\rho V c} = \frac{\left[\frac{\text{W}}{\text{m}^2 \text{K}}\right] \cdot [\text{m}^2]}{\left[\frac{\text{kg}}{\text{m}^3}\right] \cdot \left[\frac{\text{Jkg}}{\text{K}}\right] \cdot [\text{m}^3]} = \frac{W}{J} = \frac{1}{s}$$